XXX 1960 5

МЕХАНИКА

М. А. Задоян

О ползучести бетонной плиты при воздействии гамма-излучения

Представлено академиком АН Армянской ССР Н. Х. Арутюняном 13. II 1960)

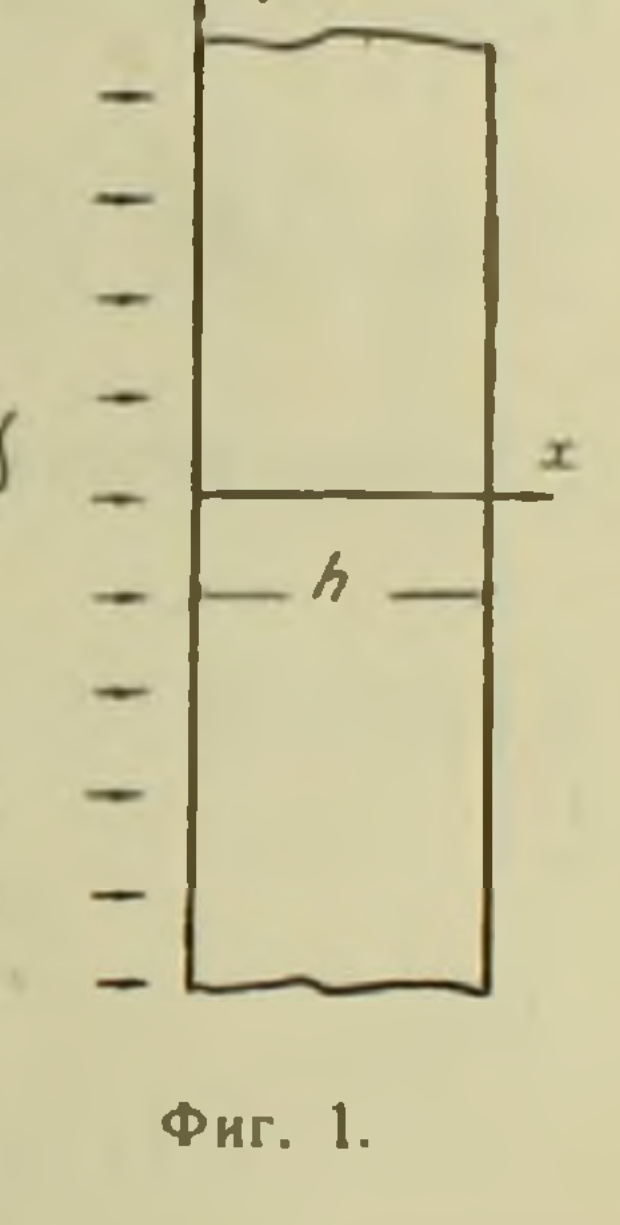
1°. Рассмотрим напряженное состояние бетонной, свободной от закреплений, бесконечной плиты при воздействии гамма-излучения с учетом ползучести материала. Пусть на поверхность плиты (фиг. 1) па-

дает плоско-параллельный равномерный поток гамма-лучей, интенсивность которого во времени остается постоянной. Распределение плотности тепловыделения по толщине плиты, как известно, определяется формулой (1)

$$H(x) = I E_{\gamma} \mu_e e^{-\mu_0 x}, \qquad (1)$$

где
$$I$$
 — ток гамма-квантов $\frac{1}{c_{M}^{2} \cdot \text{сек}}$

 E_{7} —энергия гамма-кванта [Мэв], μ_{e} —коэффициент поглощения энергии [cM^{-1}], μ_{0} —полный коэффициент поглощения гамма-квантов [cM^{-1}]. Предполагаем, что поверхности плиты теплоизолированы и поддерживаются при постоянной тем-



пературе, равной нулю: T=0 при x=0 и x=h. При таких граничных условиях решение уравнения теплопроводности

$$k \, \frac{d^2 \, T}{dx^2} + H = 0 \tag{2}$$

имеет вид

$$T(x) = \frac{IE_{\eta}\mu_{e}}{k\mu_{0}^{2}} \left[1 - e^{-\mu_{o}x} - (1 - e^{-\mu_{e}h}) \frac{x}{h} \right], \tag{3}$$

где k—коэффициент теплопроводности. Для такого закона распределения температуры в работе М. Хиллера (1) при помощи известных формул теории упругости определены напряжения в закрепленной бесконечной плите.

2°. При достаточно больших значениях $E_{\mu\nu}$, обычно имеющих место в корпусах ядерных реакторов (²), возникает высокая температура. Поэтому при расчете на ползучесть рассматриваемой плиты будем учитывать влияние температуры на свойства ползучести и модуля упругости бетона. Положим, что

$$C^* (T, t, \tau) = C (t, \tau) e^{\mu T(x, t)}$$

$$E^* (T) = E_0 e^{-\tau T(x, t)},$$
(4)

где C^* , C, E^* и E_0 меры ползучести и модули упругости бетона соответственно при высоких и обычных температурах, а коэффициенты μ и γ определяются из эксперимента. В выражениях (4) и в дальнейшем, для общности, температурную функцию будем считать зависящей как от x, так и от времени t.

Экспериментальное исследование модуля упругости бетона при достаточно большом диапозоне изменения температуры произведено В. Н. Мурашевым (3) и В. А. Харламовым (4). Экспериментальному изучению свойства ползучести бетона при высоких температурах посвящена работа В. А. Харламова (4).

Зависимость между компонентами напряжений и деформаций согласно (⁵) имеет вид

$$\varepsilon_{y} - \alpha T = \frac{1}{E(T)} \left[\sigma_{y} - v \sigma_{z} \right] - \int_{\tau_{0}}^{t} \left[\sigma_{y} - v \sigma_{z} \right] \frac{\partial}{\partial \tau} C^{*}(T, t, \tau) d\tau. \tag{5}$$

Для рассматриваемой задачи, принимая

$$\varepsilon_y = \varepsilon_z = \varepsilon(x, t), \ \sigma_y = \sigma_z = \sigma(x, t)$$

и учитывая соотношения (4), получим

$$\frac{E_0}{1-v}\left[\varepsilon\left(x,t\right)-\alpha T\left(x,t\right)\right]=$$

$$= \sigma(x, t) e^{\tau T(x, t)} - \int_{\tau_0}^{t} \sigma(x, \tau) e^{\mu T(x, t)} K(t, \tau) d\tau, \qquad (6)$$

где

$$K(t,\tau) = E_0 \frac{\partial}{\partial \tau} C(t,\tau), C(t,\tau) = \varphi(\tau) \left[1 - e^{-\tau(t-\tau)}\right]$$
 (7)

Аналогично гипотезе плоских сечений, следуя работам $(^{5-7})$, примем

$$\varepsilon(x,t) = A(t) + B(t)x, \tag{8}$$

где A(t) и B(t) — неизвестные функции от времени.

Обозначая $\lambda = \gamma - \mu$ (не ограничивая общности примем $\lambda > 0$), используя гипотезу (8) и условия равновесия

$$\int_{0}^{h} s(x, t) dx = 0, \qquad \int_{0}^{h} (x, t) x dx = 0,$$
(9)

из (6) получим:

$$\sigma(x,t) e^{\lambda T(x,t)} - \int_0^h \sigma(\xi,t) e^{\lambda T(\xi,t)} M(\xi,x,t) d\xi =$$

$$= F(x,t) + \int_0^t \sigma(x,\tau) K(t,\tau) d\tau,$$
(10)

где введены следующие обозначения:

$$M(\xi, x, t) = e^{-\mu T(x, t)} \left[\frac{a_1 \xi - a_2}{a_1^2 - a_0 a_2} - \frac{a_0 \xi - a_1}{a_1^2 - a_0 a_2} x \right]; \tag{11}$$

$$F(x,t) = \frac{E_0 \alpha e^{-\mu T(x,t)}}{1-\nu} \left[\frac{a_1 b_1 - a_2 b_0}{a_1^2 - a_0 a_2} + \frac{a_1 b_0 - a_0 b_1}{a_1^2 - a_0 a_2} x - T(x,t) \right], \quad (12)$$

$$a_n = \int_0^h e^{-\mu T(x,t)} x^n dx, \quad b_n = \int_0^h e^{-\mu T(x,t)} T(x,t) x^n dx. \tag{13}$$

Для коэффициента a_n индекс n принимает значения 0;1;2;a для b_n —0;1. При нестационарных режимах a_n и b_n являются известными функциями от t.

Легко заметить, что функция F(x,t) и ядро $M(\xi,x,t)$ удовлетворяют условию:

$$\int_{0}^{h} M(x, t) x^{n} dx = 0 \text{ при } n = 0; 1.$$
 (14)

$$\int_{0}^{h} M(\xi, x, t) x^{n} dx = \begin{cases} 1 \text{ при } n = 0; \\ \xi \text{ при } n = 1. \end{cases}$$
(15)

Если ввести новые обозначения

$$\Omega(x,t) = \sigma(x,t) e^{\lambda T(x,t)}, \quad N(x,t,\tau) = K(t,\tau) e^{-\lambda T(x,t)}, \quad (16)$$

то уравнение (10) можно привести к виду

$$\Omega(x,t) = F(x,t) + \int_{0}^{h} \Omega(\xi, t) M(\xi, x, t) d\xi + \int_{0}^{t} \Omega(x, \tau) N(x, t, \tau) d\tau. \tag{17}$$

Таким образом, определение напряжения в рассматриваемой плите свелось к решению интегрального уравнения типа (10) или (17). Полученное уравнение характеризуется двумя ядрами $M(\xi, x, t)$ и N(x, t, t).

которые являются ядрами, соответственно, Фредгольма и Вольтерра. 3°. Решение уравнения (10) ищем в виде ряда по параметру д

$$\sigma(x,t) = \sigma_0(x,t) + \sum_{n=1}^{\infty} \lambda^n \sigma_n(x,t). \tag{18}$$

Подставляя (18) в уравнение (10), используя разложение $e^{\lambda T}$ и приравнивая коэффициенты при одинаковых степенях λ , получим

$$\sigma_0(x,t) = F(x,t) + \int \sigma_0(x,\tau) K(t,\tau) d\tau,$$
 (19)

$$\sigma_n(x,t) = \int_0^{\pi} M(\xi,x,t) \sum_{m=0}^{n-1} \sigma_m(\xi,t) \frac{T^{n-m}(\xi,t)}{(n-m)!} d\xi -$$

$$-\sum_{m=0}^{n-1} \sigma_m(x,t) \frac{T^{n-m}(x,t)}{(n-m)!} + \int_{\tau_0}^t \sigma_n(x,\tau) K(t,\tau) d\tau.$$
 (20)

$$(n = 1, 2, ...)$$

Отметим, что пр**и** получении последних соотношений использовано условие

$$\int_{0}^{h} M(\xi, x, t) z_{n}(\xi, t) d\xi = 0, \quad (n = 0, 1, 2, ...),$$

вытекающее из (9), (11), (15) и (18).

Решение уравнения (19) можно представить в виде

$$\sigma_0(x,t) = L(F), \tag{21}$$

где

$$L(F) = F(\tau_0) + [F'(\tau_0) - E_0 \gamma_0 \varphi(\tau_0) F(\tau_0)] \int_{\tau_0}^{t} e^{-\eta(\tau)} d\tau +$$

$$+\int_{\tau_0}^t e^{-\eta(\tau)} d\tau \int_{\tau_0}^{\bar{\tau}} e^{\eta(z)} \left[F''(z) + \gamma_0 F'(z) \right] dz, \tag{22}$$

$$\eta(t) = \gamma_0 \int_{\tau_0}^{\tau} \left[1 + E_0 \varphi(\tau)\right] d\tau, \qquad (23)$$

Причем штрих означает дифференцирование по t, а аргумент x для краткости опущен.

Аналогичным образом из (20) находим

$$\sigma_{n}(x,t) = \int_{0}^{h} M(\xi,x,t) \sum_{m=0}^{n-1} L(\sigma_{m}) \frac{T^{n-m}}{(n-m)!} d\xi - \sum_{m=0}^{n-1} L(\sigma_{m}) \frac{T^{n-m}}{(n-m)!},$$
(24)

задавая n=1,2,..., из рекурентной формулы (24) определяем коэффициенты разложения (18).

Докажем сходимость ряда (18). Решение уравнения (19) представим в виде

$$\sigma_0(x,t) = F(x,t) + \int_{\tau_0}^{t} F(x,\tau) R(t,\tau) d\tau, \qquad (25)$$

где $R(t,\tau)$ резольвента ядра $K(t,\tau)$, выражение которого определено в (9). Аналогичным образом из (20) имеем

$$\sigma_{n}(x,t) = \int_{0}^{h} M(\xi,x,t) \sum_{m=0}^{n-1} \sigma_{m}(\xi,\tau) \frac{T^{n-m}(\xi,t)}{(n-m)!} d\xi - \sum_{m=0}^{n-1} \sigma_{m}(x,t) \frac{T^{n-m}(x,t)}{(n-m)!} + \frac{t}{n-1} \int_{0}^{h} M(\xi,x,t) \frac{T^{n-m}(x,t)}{(n-m)!} d\xi = \sum_{m=0}^{n-1} \sigma_{m}(x,t) \frac{T^{n-m}(x,t)}{(n-m)!} + \frac{t}{n-1} \int_{0}^{h} M(\xi,x,t) \frac{T^{n-m}(x,t)}{(n-m)!} d\xi = \sum_{m=0}^{n-1} \sigma_{m}(x,t) \frac{T^{n-m}(x,t)}{(n-m)!} + \frac{t}{n-1} \int_{0}^{h} M(\xi,x,t) \frac{T^{n-m}(x,t)}{(n-m)!} d\xi = \sum_{m=0}^{n-1} \sigma_{m}(x,t) \frac{T^{n-m}(x,t)}{(n-m)!} + \frac{t}{n-1} \int_{0}^{h} M(\xi,x,t) \frac{T^{n-m}(x,t)}{(n-m)!} d\xi = \sum_{m=0}^{n-1} \sigma_{m}(x,t) \frac{T^{n-m}(x,t)}{(n-m)!} + \frac{t}{n-1} \int_{0}^{h} M(\xi,x,t) \frac{T^{n-m}(x,t)}{(n-m)!} d\xi = \sum_{m=0}^{n-1} \sigma_{m}(x,t) \frac{T^{n-m}(x,t)}{(n-m)!} + \frac{t}{n-1} \int_{0}^{h} M(\xi,x,t) \frac{T^{n-m}(x,t)}{(n-m)!} d\xi = \sum_{m=0}^{n-1} \sigma_{m}(x,t) \frac{T^{n-m}(x,t)}{(n-m)!} + \frac{t}{n-1} \int_{0}^{h} M(\xi,x,t) \frac{T^{n-m}(x,t)}{(n-m)!} d\xi = \sum_{m=0}^{n-1} \sigma_{m}(x,t) \frac{T^{n-m}(x,t)}{(n-m)!} + \frac{t}{n-1} \int_{0}^{h} M(\xi,x,t) \frac{T^{n-m}(x,t)}{(n-m)!} d\xi = \sum_{m=0}^{n-1} \sigma_{m}(x,t) \frac{T^{n-m}(x,t)}{(n-m)!} + \frac{t}{n-1} \int_{0}^{h} M(\xi,x,t) \frac{T^{n-m}(x,t)}{(n-m)!} d\xi = \sum_{m=0}^{n-1} \sigma_{m}(x,t) \frac{T^{n-m}(x,t)}{(n-m)!} + \frac{t}{n-1} \int_{0}^{h} M(\xi,x,t) \frac{T^{n-m}(x,t)}{(n-m)!} d\xi = \sum_{m=0}^{n-1} \sigma_{m}(x,t) \frac{T^{n-m}(x,t)}{(n-m)!} + \frac{t}{n-1} \int_{0}^{h} M(\xi,x,t) \frac{T^{n-m}(x,t)}{(n-m)!} d\xi = \sum_{m=0}^{n-1} \sigma_{m}(x,t) \frac{T^{n-m}(x,t)}{(n-m)!} + \frac{t}{n-1} \int_{0}^{h} M(\xi,x,t) \frac{T^{n-m}(x,t)}{(n-m)!} d\xi = \sum_{m=0}^{n-1} \sigma_{m}(x,t) \frac{T^{n-m}(x,t)}{(n-m)!} + \frac{t}{n-1} \int_{0}^{h} M(\xi,x,t) \frac{T^{n-m}(x,t)}{(n-m)!} d\xi = \sum_{m=0}^{n-1} \sigma_{m}(x,t) \frac{T^{n-m}(x,t)}{(n-m)!} + \frac{t}{n-1} \int_{0}^{h} M(\xi,x,t) \frac{T^{n-m}(x,t)}{(n-m)!} d\xi = \sum_{m=0}^{n-1} \sigma_{m}(x,t) \frac{T^{n-m}(x,t)}{(n-m)!} + \frac{t}{n-1} \int_{0}^{n} M(\xi,x,t) \frac{T^{n-m}(x,t)}{(n-m)!} d\xi = \sum_{m=0}^{n-1} \sigma_{m}(x,t) \frac{T^{n-m}(x,t)}{(n-m)!} + \frac{t}{n-1} \int_{0}^{n} M(\xi,x,t) \frac{T^{n-m}(x,t)}{(n-m)!} d\xi = \sum_{m=0}^{n} M(\xi,x,t) \frac{T^{n-m}(x,t)}{(n-m)!} + \frac{t}{n-1} \int_{0}^{n} M(\xi,x,t) d\xi = \sum_{m=0}^{n} M(\xi,x,t) \frac{T^{n-m}(x,t)}{(n-m)!} + \frac{t}{n-1} \int_{0}^{n} M(\xi,x,t) d\xi = \frac{t}{n-1} \int_{0}^{n} M(\xi,x,t) d\xi = \frac{t}{n-1} \int_{0}^{n$$

$$+ \int_{\tau_0}^{t} \left\{ \int_{0}^{n} M(\xi, x, \tau) \sum_{m=1}^{n-1} \sigma_m(\xi, \tau) \frac{T^{n-m}(\xi, \tau)}{(n-m)!} d\xi - \frac{1}{2} \int_{0}^{n} M(\xi, x, \tau) \sum_{m=1}^{n-1} \sigma_m(\xi, \tau) \frac{T^{n-m}(\xi, \tau)}{(n-m)!} d\xi - \frac{1}{2} \int_{0}^{n} M(\xi, x, \tau) \int_{0}^{n} M(\xi, x, \tau) \int_{0}^{n-1} \sigma_m(\xi, \tau) \frac{T^{n-m}(\xi, \tau)}{(n-m)!} d\xi - \frac{1}{2} \int_{0}^{n} M(\xi, x, \tau) \int_{0}^{n} \frac{T^{n-m}(\xi, \tau)}{(n-m)!} d\xi - \frac{1}{2} \int_{0}^{n} M(\xi, x, \tau) \int_{0}^{n} \frac{T^{n-m}(\xi, \tau)}{(n-m)!} d\xi - \frac{1}{2} \int_{0}^{n} M(\xi, x, \tau) \int_{0}^{n} \frac{T^{n-m}(\xi, \tau)}{(n-m)!} d\xi - \frac{1}{2} \int_{0}^{n} M(\xi, x, \tau) \int_{0}^{n} \frac{T^{n-m}(\xi, \tau)}{(n-m)!} d\xi - \frac{1}{2} \int_{0}^{n} M(\xi, x, \tau) \int_{0}^{n} \frac{T^{n-m}(\xi, \tau)}{(n-m)!} d\xi - \frac{1}{2} \int_{0}^{n} M(\xi, x, \tau) \int_{0}^{n} \frac{T^{n-m}(\xi, \tau)}{(n-m)!} d\xi - \frac{1}{2} \int_{0}^{n} M(\xi, x, \tau) \int_{0}^{n} \frac{T^{n-m}(\xi, \tau)}{(n-m)!} d\xi - \frac{1}{2} \int_{0}^{n} M(\xi, x, \tau) \int_{0}^{n} \frac{T^{n-m}(\xi, \tau)}{(n-m)!} d\xi - \frac{1}{2} \int_{0}^{n} M(\xi, x, \tau) \int_{0}^{n} \frac{T^{n-m}(\xi, \tau)}{(n-m)!} d\xi - \frac{1}{2} \int_{0}^{n} M(\xi, x, \tau) \int_{0}^{n} \frac{T^{n-m}(\xi, \tau)}{(n-m)!} d\xi - \frac{1}{2} \int_{0}^{n} M(\xi, x, \tau) \int_{0}^{n} \frac{T^{n-m}(\xi, \tau)}{(n-m)!} d\xi - \frac{1}{2} \int_{0}^{n} M(\xi, x, \tau) \int_{0}^{n} \frac{T^{n-m}(\xi, \tau)}{(n-m)!} d\xi - \frac{1}{2} \int_{0}^{n} M(\xi, x, \tau) \int_{0}^{n} \frac{T^{n-m}(\xi, \tau)}{(n-m)!} d\xi - \frac{1}{2} \int_{0}^{n} M(\xi, x, \tau) \int_{0}^{n} \frac{T^{n-m}(\xi, \tau)}{(n-m)!} d\xi - \frac{1}{2} \int_{0}^{n} M(\xi, x, \tau) \int_{0}^{n} \frac{T^{n-m}(\xi, \tau)}{(n-m)!} d\xi - \frac{1}{2} \int_{0}^{n} M(\xi, x, \tau) \int_{0}^{n} \frac{T^{n-m}(\xi, \tau)}{(n-m)!} d\xi - \frac{1}{2} \int_{0}^{n} M(\xi, x, \tau) \int_{0}^{n} \frac{T^{n-m}(\xi, \tau)}{(n-m)!} d\xi - \frac{1}{2} \int_{0}^{n} M(\xi, x, \tau) \int_{0}^{n} \frac{T^{n-m}(\xi, \tau)}{(n-m)!} d\xi - \frac{1}{2} \int_{0}^{n} M(\xi, x, \tau) \int_{0}^{n} \frac{T^{n-m}(\xi, \tau)}{(n-m)!} d\xi - \frac{1}{2} \int_{0}^{n} M(\xi, x, \tau) \int_{0}^{n} \frac{T^{n-m}(\xi, \tau)}{(n-m)!} d\xi - \frac{1}{2} \int_{0}^{n} M(\xi, x, \tau) \int_{0}^{n} \frac{T^{n-m}(\xi, \tau)}{(n-m)!} d\xi - \frac{1}{2} \int_{0}^{n} M(\xi, \tau) d\xi - \frac{1}{2} \int_{0}^{n} M(\xi, x, \tau) d\xi - \frac{1}{2} \int_{0}^{n} M(\xi, \tau) d\xi - \frac{1}{$$

$$-\sum_{m=0}^{n-1} \sigma_m(x,\tau) \frac{T^{n-m}(x,\tau)}{(n-m)!} \left\{ R(t,\tau) d\tau \right\}$$

$$(26)$$

Для значений аргументов $\tau_0 \leqslant t \leqslant t_0$, $0 \leqslant x \leqslant h$ введем обозначения

$$F_0 = \max |F(x, t)|, \quad M_0 = \max |M(\xi, x, t)|$$

$$T_0 = \max |T(x, t)|, \quad \overline{\sigma_n} = \max |\sigma_n(x, t)|, \quad (n = 0, 1, ...)$$

$$D_0 = 1 + \int_0^{t_0} |R(t, \tau)| d\tau, \quad D = (1 + M_0 h) D_0.$$

Тогда из (25) и (26) будем иметь

$$|\sigma_0(x,t)| < \overline{\sigma_0} = D_0 F_0,$$

$$|\sigma_1(x,t)| < \overline{\sigma_1} = D \overline{\sigma_1} \frac{T_0}{1!},$$

$$|\sigma_{2}(x,t)| < \overline{\sigma}_{2} = D\left(\overline{\sigma_{0}} \frac{T_{0}^{2}}{2!} + \overline{\sigma_{1}} \frac{T_{0}}{1!}\right),$$

$$|\sigma_{n}(x,t)| < \overline{\sigma_{n}} = D\left(\overline{\sigma_{0}} \frac{T_{0}^{n}}{n!} + \overline{\sigma_{1}} \frac{T_{0}^{n-1}}{(n-1)!} + \dots + \overline{\sigma_{n-1}} \frac{T_{0}}{1!}\right).$$

Умножая обе части равенства (неравенства), начиная со второй строки на λ , λ^2 ,... и складывая получим

$$S_n(x,t) = \sum_{n=0}^{\infty} \lambda^n |\sigma_n(x,t)| < \overline{S_n} = \sum_{n=0}^{\infty} \lambda^n \overline{\sigma_n}$$

С другой стороны, легко заметить

$$\overline{S_n} \left[1 - D \left(\frac{\lambda T_0}{1!} + \frac{\lambda^2 T_0^2}{2!} + \dots + \frac{\lambda^n T_0^n}{n!} \right) \right] < D_0 F_0. \tag{28}$$

Тогда при

$$\lambda < \lambda_0 = \frac{1}{T_0} \ln \frac{1+D}{D} \tag{27}$$

находим

$$\lim_{n\to\infty} \overline{S}_n < S = \frac{D_0 F_0}{1 - D(e^{\lambda T_0} - 1)}.$$

Таким образом доказано, что для значения $\lambda < \lambda_0$ ряд (18) сходится абсолютно и равномерно.

4°. Для рассматриваемого случая стационарного облучения, имеем

$$\sigma_0(x,t) = F(x) \chi_0(t), \ \sigma_1(x,t) = F_1(x) \chi_1(t), \tag{30}$$

где

$$F_{1}(x) = \int_{0}^{h} M(\xi, x) F(\xi) \frac{T(\xi)}{1!} d\xi - F(x) \frac{T(x)}{1!}, \qquad (31)$$

$$\chi_0(t) = 1 - \frac{E_0 C_0}{1 + E_0 C_0} \left[1 - e^{-\gamma_0 (1 + E_0 C_0)(t - \tau_0)} \right]$$
 (32)

$$\chi_{1}(t) = 1 - \frac{E_{0}C_{0}}{1 + E_{0}C_{0}} \left\{ \left(2 - \frac{E_{0}C_{0}}{1 + E_{0}C_{0}} \right) \left[1 - e^{-\gamma_{0}(1 + E_{0}C_{0})(t - \tau_{0})} \right] - \gamma_{0}E_{0}C_{0}(t - \tau_{0})e^{-\gamma_{0}(1 + E_{0}C_{0})(t - \tau_{0})} \right\}$$
(33)

причем, при выводе последних формул, для простоты принято в (7) $\approx C_0$. Ограничиваясь двумя членами ряда, будем иметь

$$s(x,t) = F(x)\chi_0(t) + \lambda F_1(x)\chi_1(t)$$
 (34)

При $t=\tau_{\bullet}$ и $t\to\infty$, ямеем

$$\sigma(x,\tau_0) = F(x) + \lambda F_1(x), \tag{35}$$

$$\sigma(x,\infty) = \frac{F(x)}{1 + E_0 C_0} + \frac{\lambda F_1(x)}{(1 + E_0 C_0)^2}.$$
 (36)

Рассмотренная задача показывает, что учет влияния температуры на ползучесть и модуль упругости бетона характерен тем, что свойства ползучести оказывают влияние как на величины напряжения, так и на деформации.

Институт математики и механики Академии наук Армянской ССР

Մ. Ա. ԶԱԴՈՅԱՆ

Բեռոնյա սալի սողքը գամմա-ճառագայթման ազդեցության ժամանակ

Ուսում նասիրվում է անվերջ րետոնյա սալի լարվածային վիճակը, սողքի հաշվառումով, երը սալի արտարին մակերևույթիը ևն թարկվում է հավասարաչափ բաշխված հարթ-ղուղահեռ դամ մա ճառադայթների ազդեցությանը (դծ. 1)։

Ընդունվում է, որ ձառաղայթնների սասակությունը ժամանակի ընթացքում մնում է անվողությանը։ Սալի ներառա առաջանում է ջնրմային աղբյուր (1)։ Ջերմահաղորդականության հավասարման (2) լումումը դրոյական նդրային պայմանների դեպքում ունի (3) տեսքը։ Լ-գամմա-րվանտների հոսանքն է, E — դամմա քվանտի էներդիան է, µ_e-էներգիայի կլանման դործակիցն է, — դամմա-քվանտի կլանման լրիվ դործակիցն է։

իտվականաչափ մեծ է և —ի գեպրում, որը տեղի ունի միջուկային ռե<mark>ակտ</mark>որ-

Ջևրմության ազդևցությունը Նյութի սողթի և առաձզականության մողուլի վրա հաշվի է առնվում (1) արտահայտությունների համաձայն։

Օդտադործելով հարթե հատվածների հիպոթերը (8), սողջի հավասարումը (6) և հավասարակշոության պայմանները լարման համար ստանում ենք (10) տիպի ինտեգրալ համասարում։ Վերջինս կարելի է ներկայացնել նաև (17) տեսջով։

$$\Omega\left(x,t\right) = F\left(x,t\right) + \int_{0}^{h} \Omega\left(\xi,t\right) M\left(\xi,x,t\right) d\xi + \int_{\tau_{0}}^{t} \Omega\left(x,\tau\right) N\left(x,t,\tau\right) d\tau,$$

ուր բախկադանդ ևգտվա

$$\Omega\left(x,t\right)=\sigma\left(x,t\right)e^{\lambda T\left(x,t\right)},\ N\left(x,t,\tau\right)=K\left(t,\tau\right)\,e^{-\lambda T\left(x,\tau\right)}$$

Ստացված ինտեղրալ հավասարժան լուծումը փնտրվում է (18) չարքի տեսքով։ Լարումը որոշելու համար ստացվում են ռեկուրենտ բանաձևեր (24)։

Ապացուցվում է որ (18) շարջը ըացարձակ և հավասարաչափ դուդամետ է, երբ

$$\lambda < \frac{1}{T_0} \ln \frac{1+D}{D}$$

Ատորավահատերը աւոտւդրտոխնվուղ է ուսանիսրաև ջաստետինդար մբանեն։

ЛИТЕРАТУРА— ЧРИЧИВИВНЫВИВ

¹ М. Хиллер. Thermal stresses in reactor shells due to γ-irradiation, Journal of Nuclear Energy, November. 1958 ² А. Н. Комаровский. Строительные материалы для защиты от мэлучений ядерных реакторов и ускорителей. Атомизлат. М., 1958. ² В. Н. Мурашев. Некоторые особенности теории проектирования жароупорных бетонных и железобетонных конструкции тепловых агрегатов. Исследования по жароупорным бетону и железобетону-ЦНИПС, М., 1954. ¹ В. А. Харламов. Исследования по жароупорным бетону и железобетону-НИПС, М., 1959. № 6. ³ Н. Х. Арутюнян. Некоторые вопросы теории ползучести. М.-Л., Гостехиздат, 1952. ¹ Г. Н. Маслов. Температурные напряжения и деформации бетонных массивов на основах теории упругости. Известия НИИГ, т. 13, 1934. ¹ А. В. Белов и П. И. Васильев. "Гидротехническое строительство", 1952. № 9 в М. А. Задоян. "Известия АН АрмССР", (сер. физ.-мат. наук), т. Х. № 5. (1957). в М. А. Задоян, "Известия АН АрмССР" (серия физ.-мат. наук), т. Х. № 5. (1958).